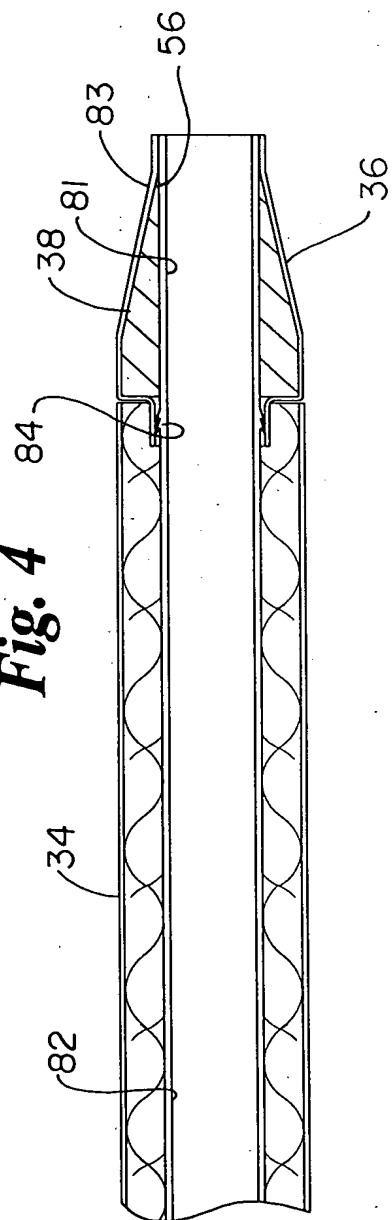
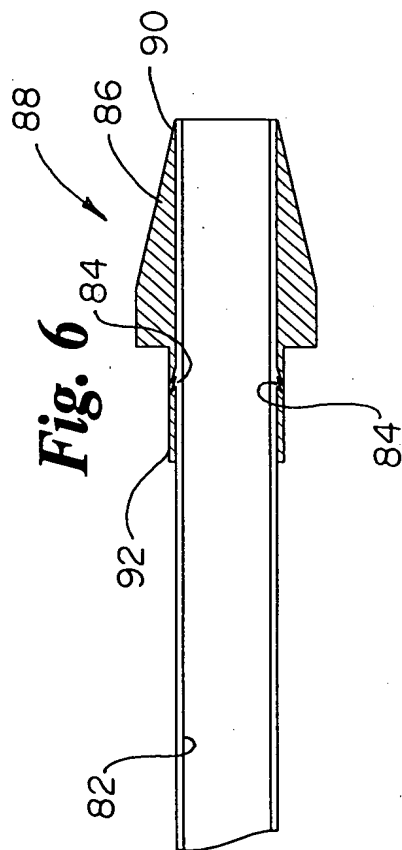
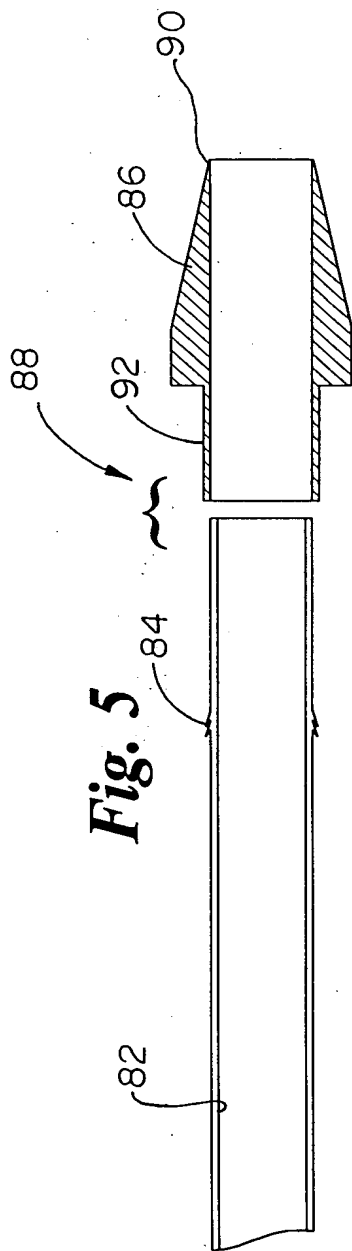


Fig. 4





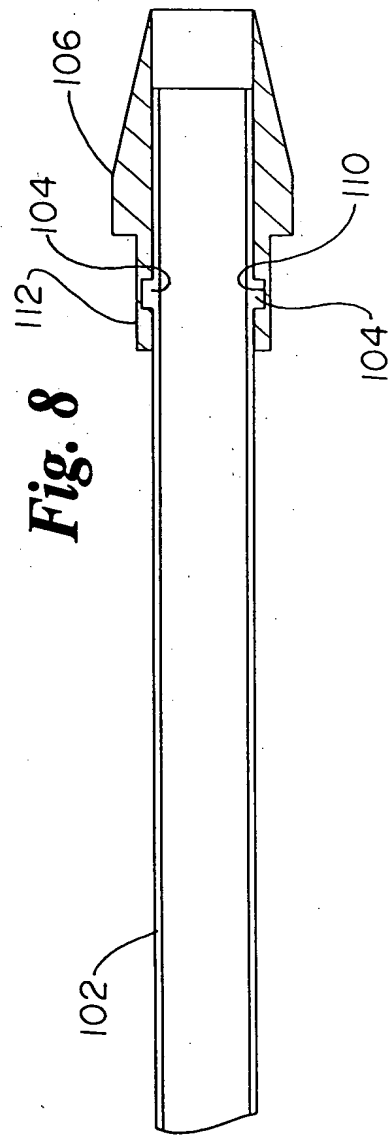
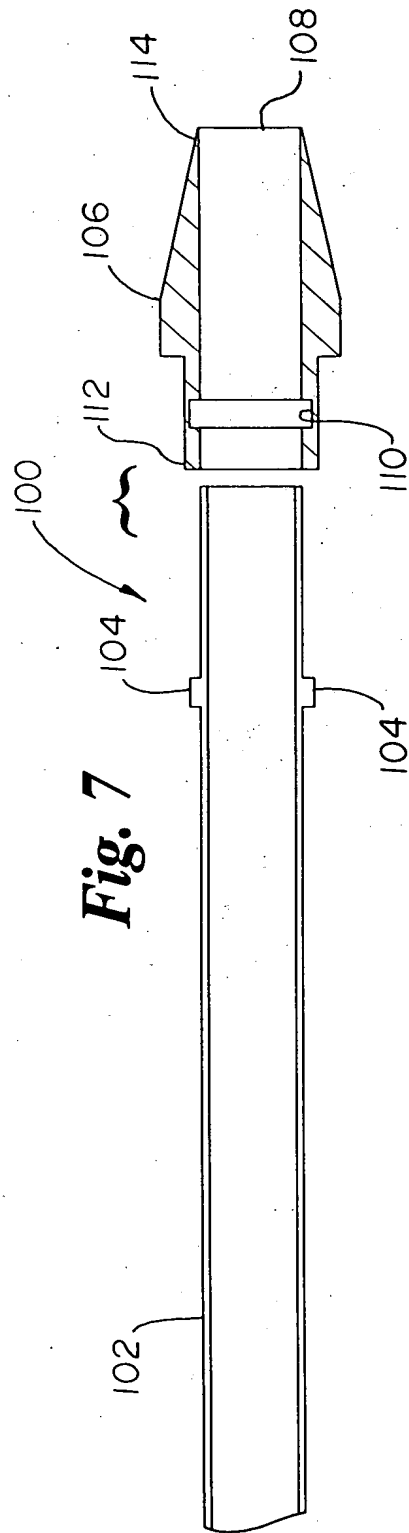


Fig. 9

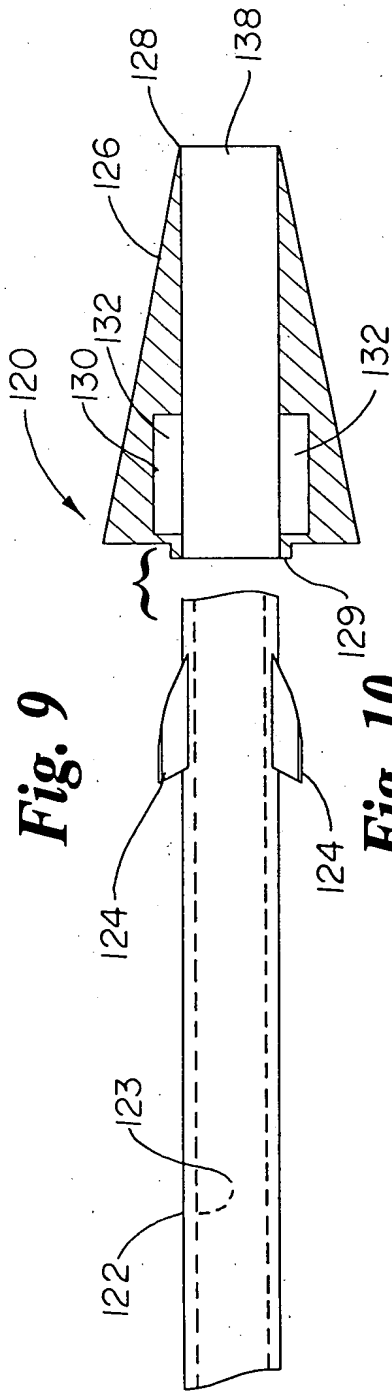


Fig. 10

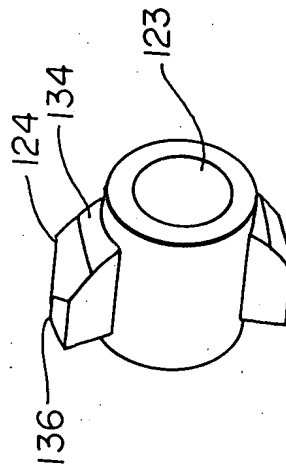


Fig. 11

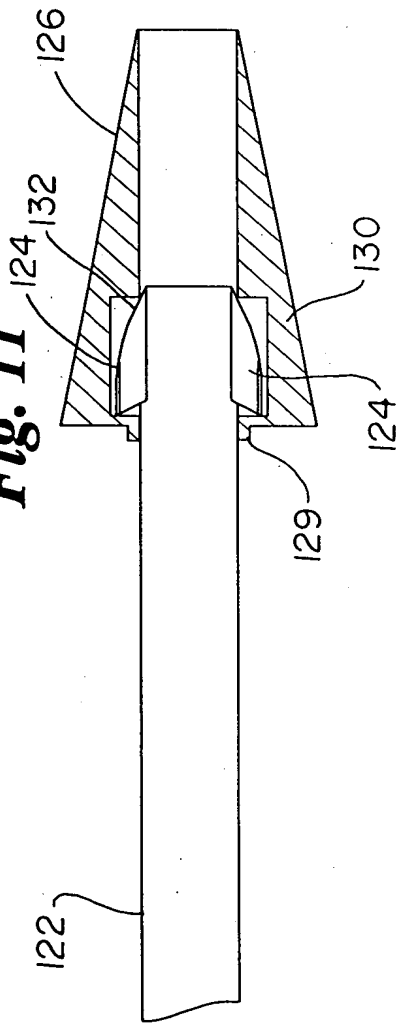


Fig. 12

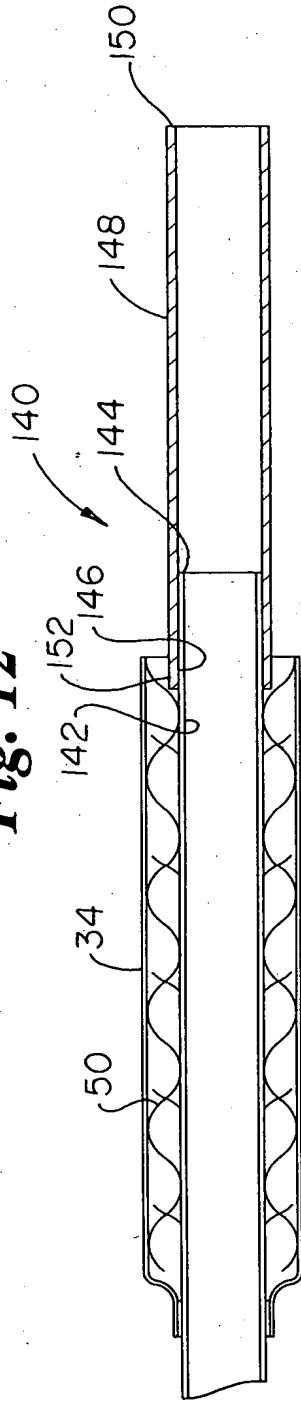
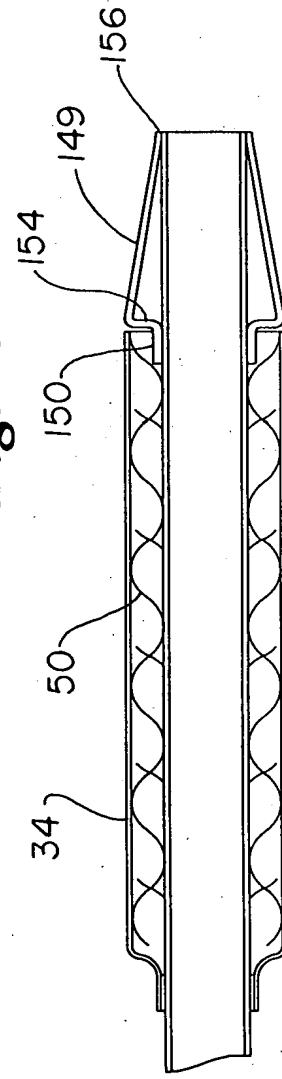


Fig. 13



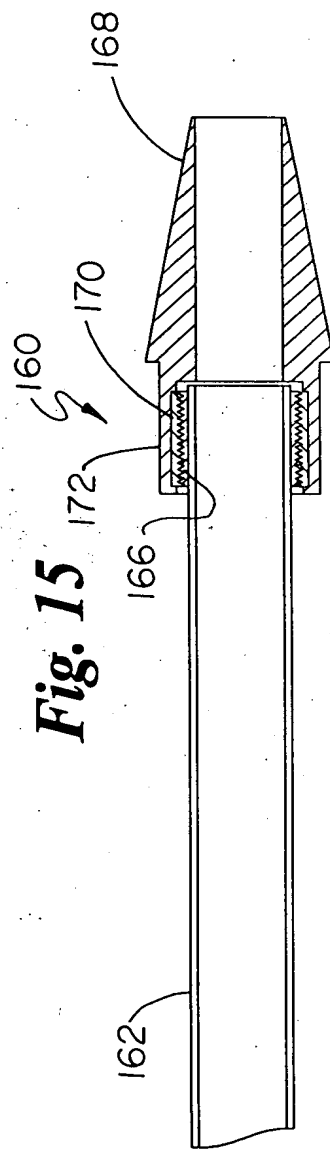
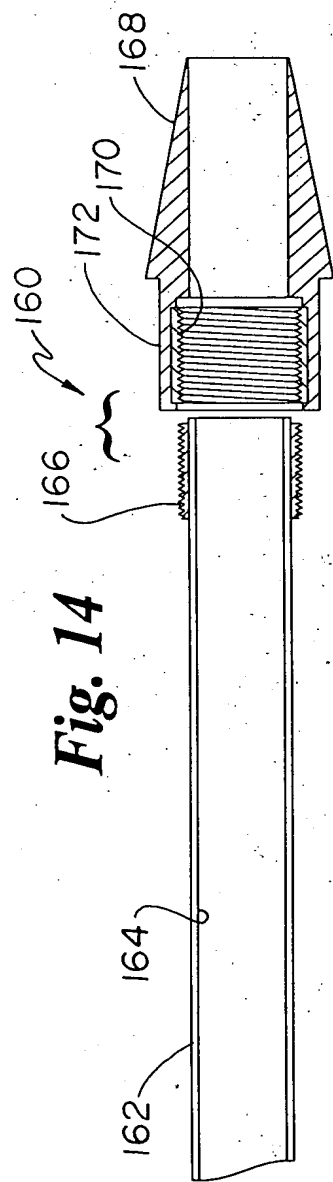


Fig. 16

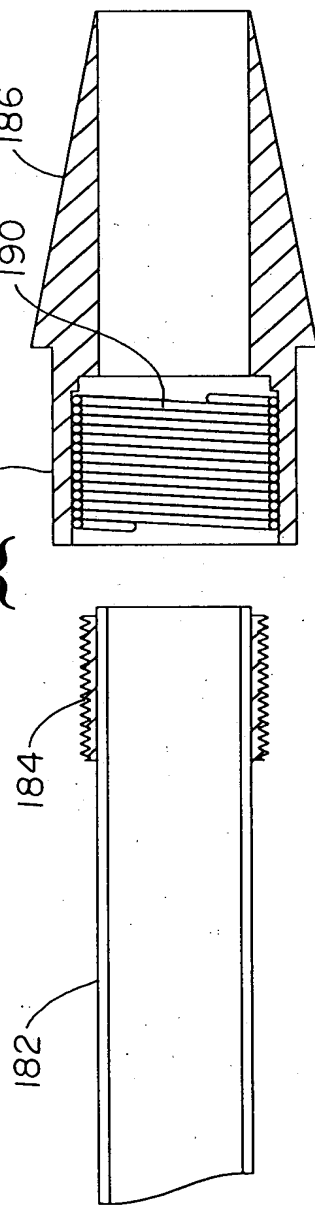
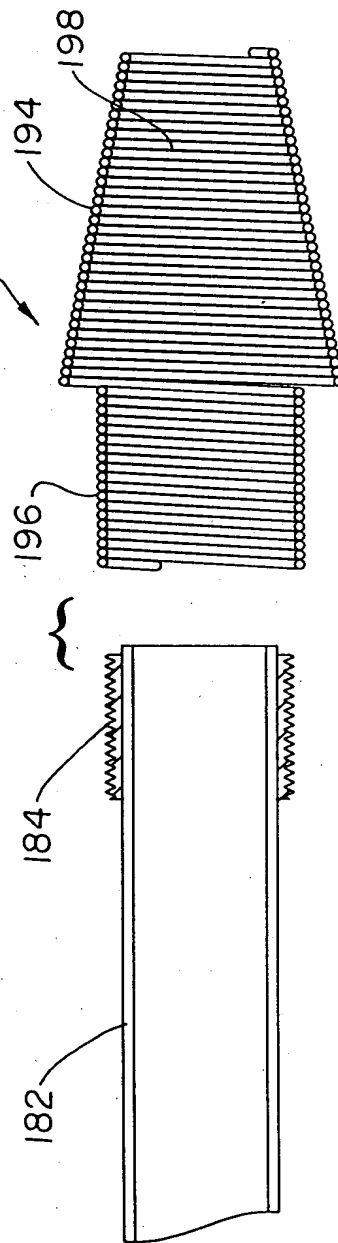
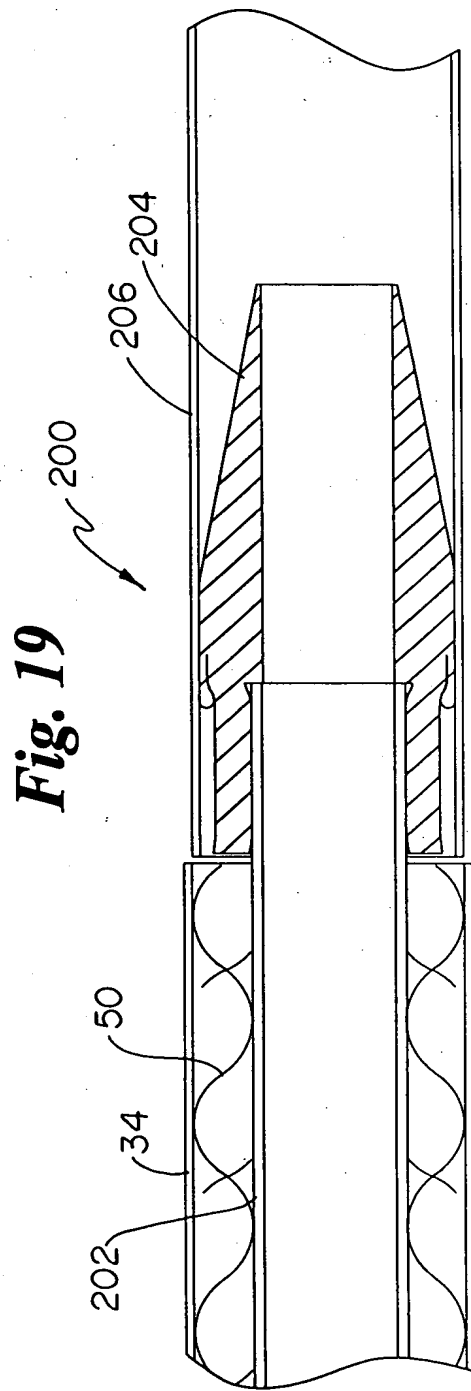
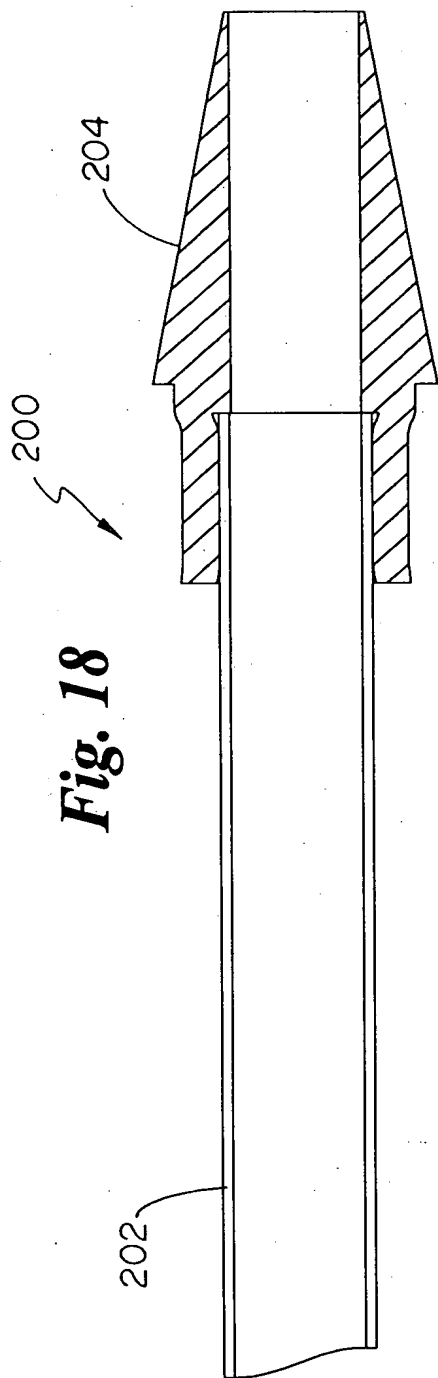
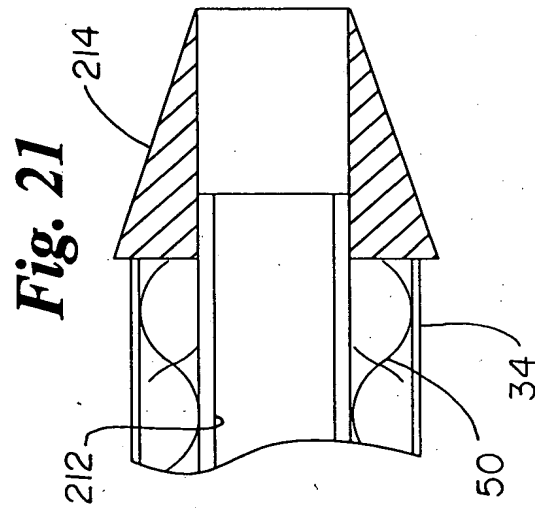
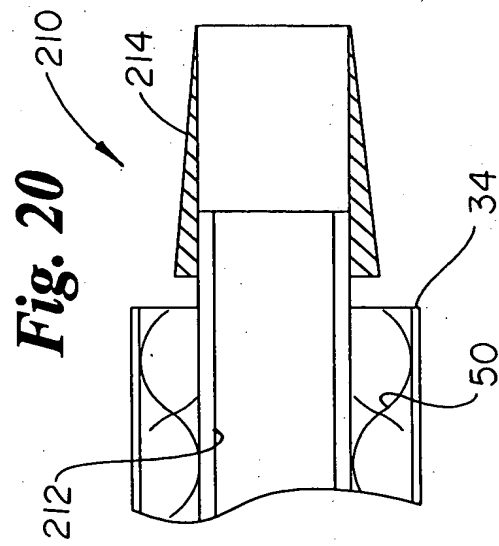


Fig. 17







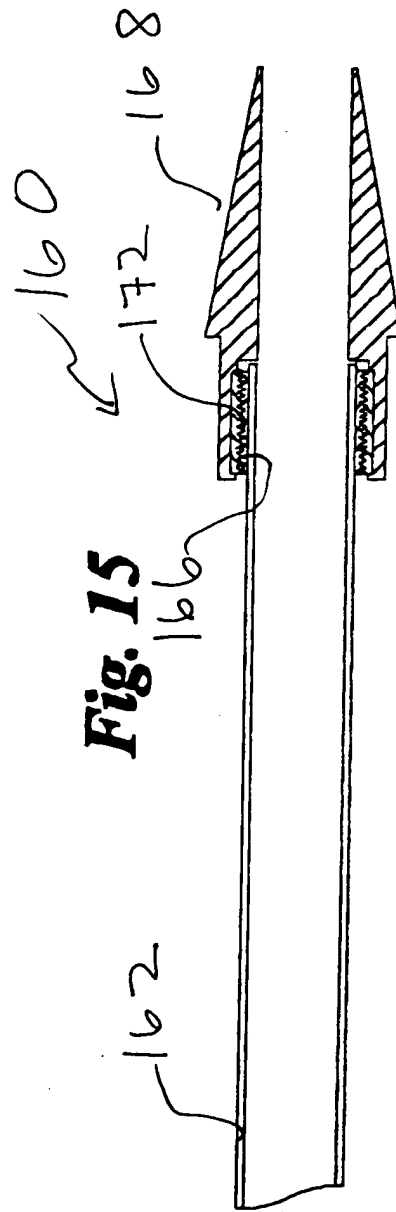
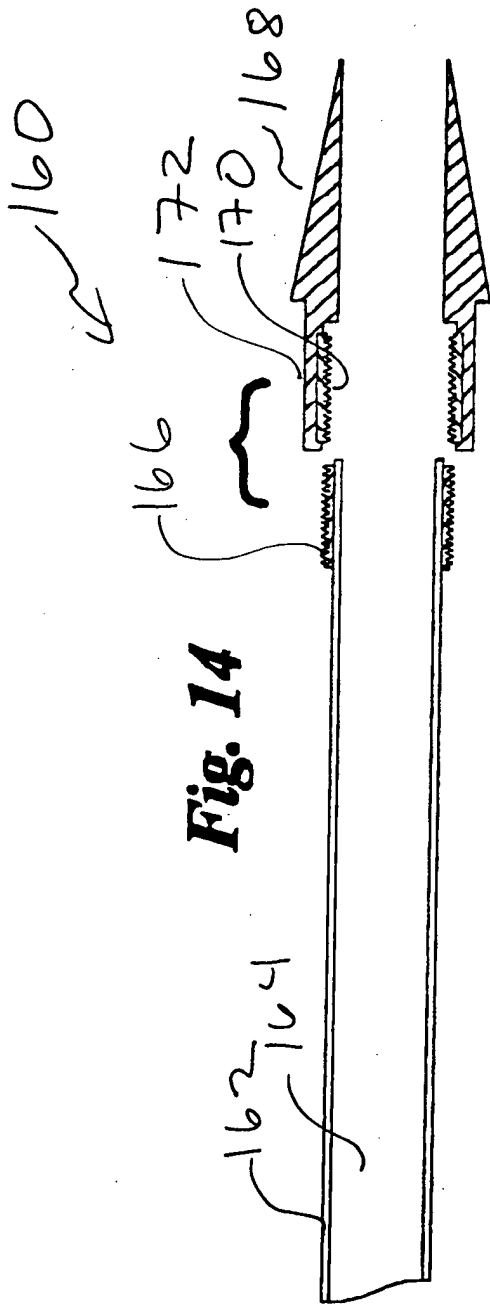


Fig. 16

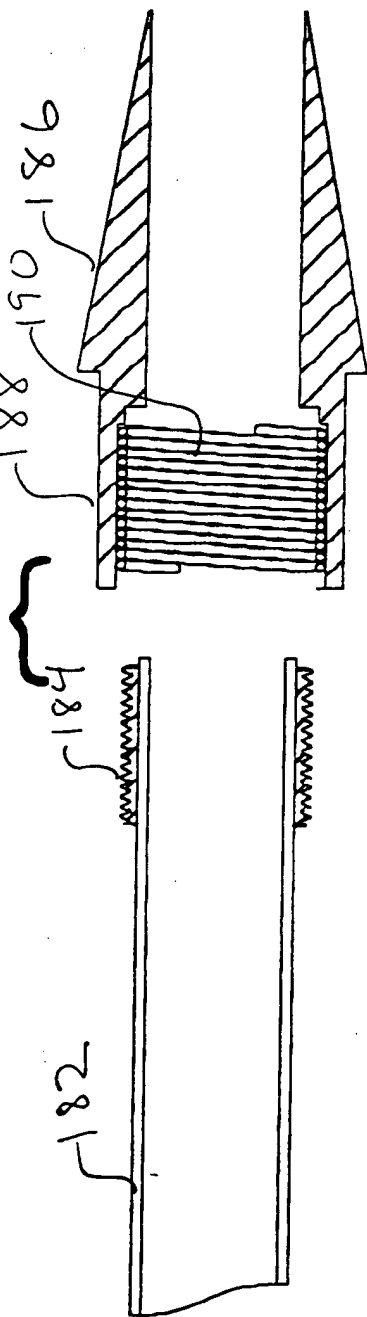


Fig. 17

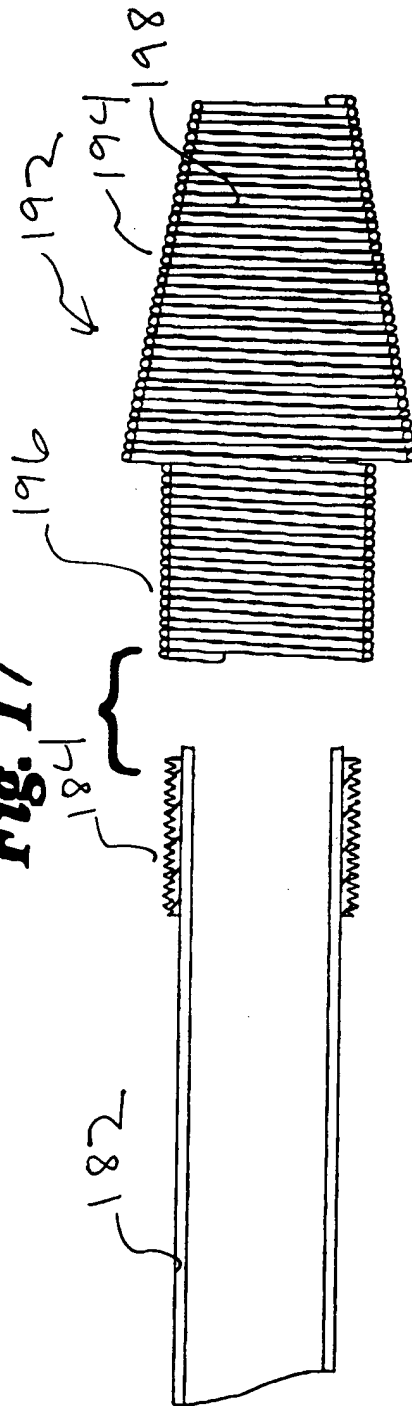


Fig. 18

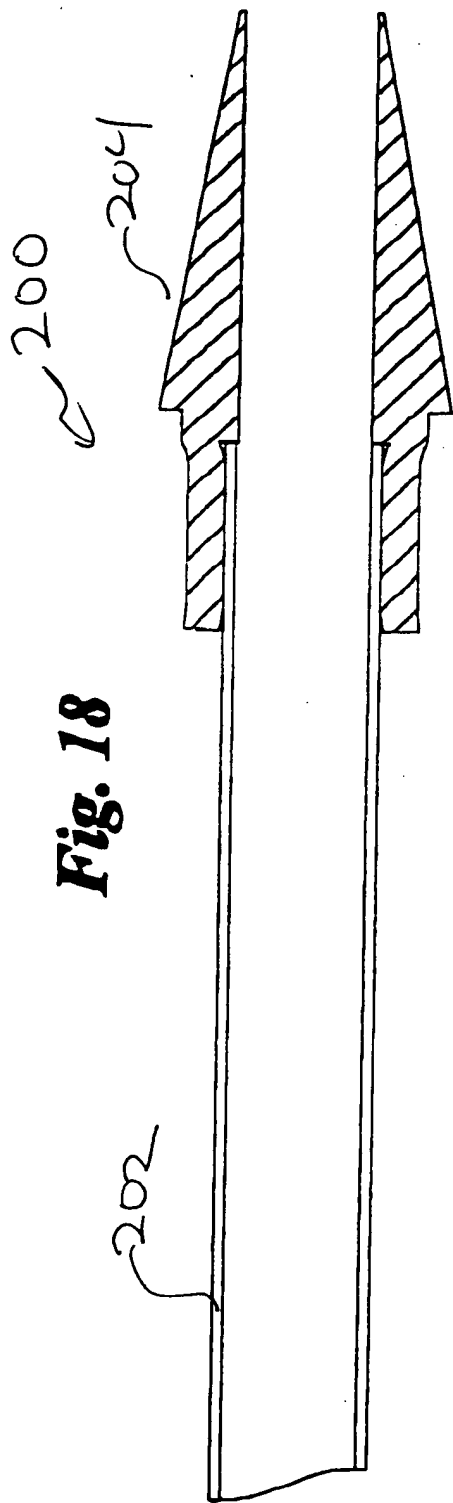
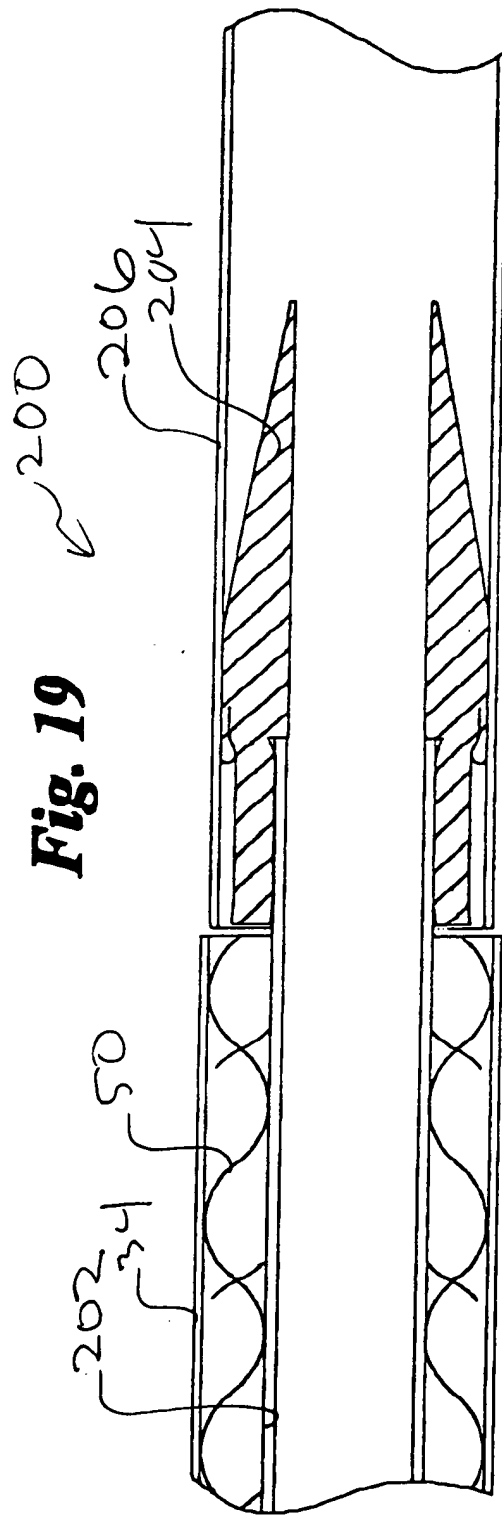
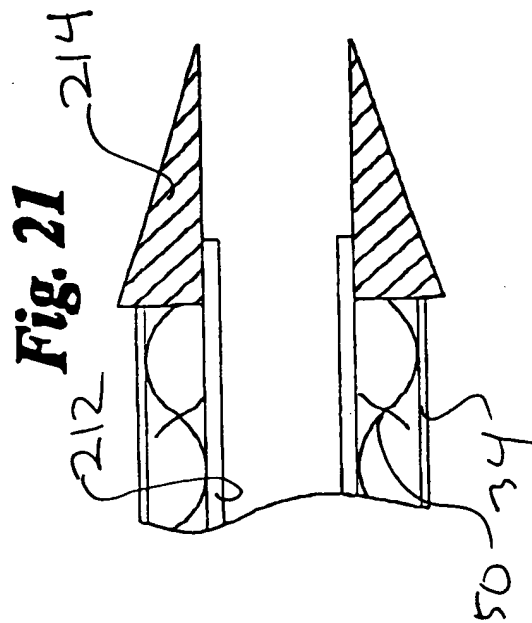
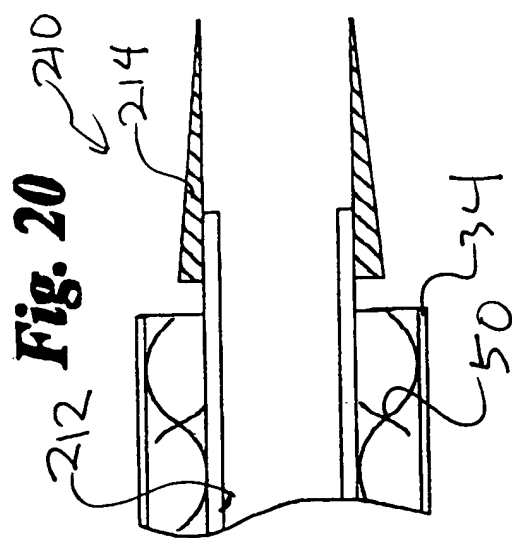
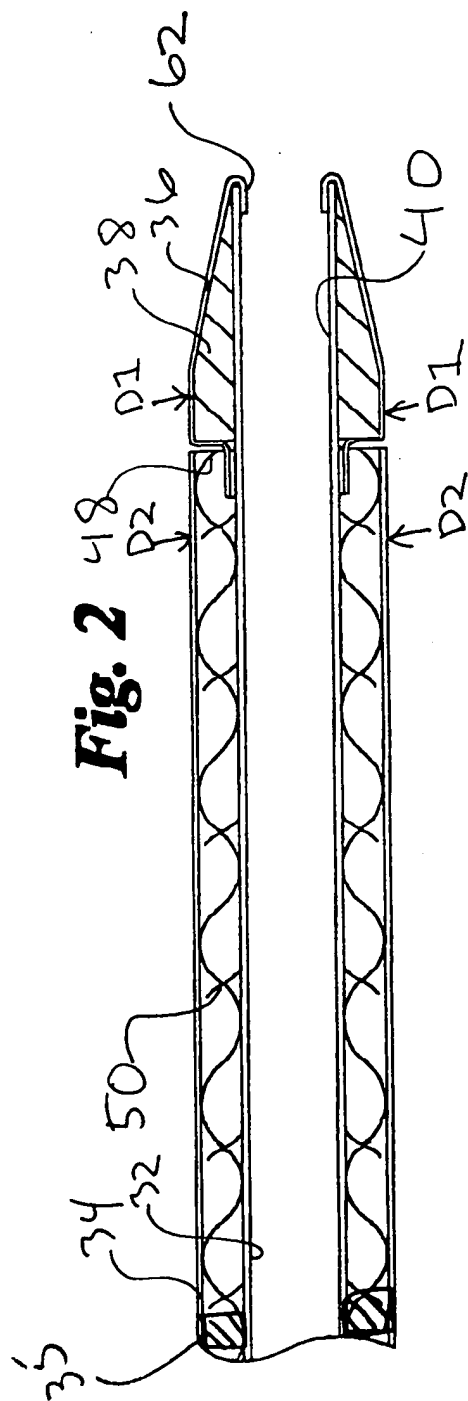
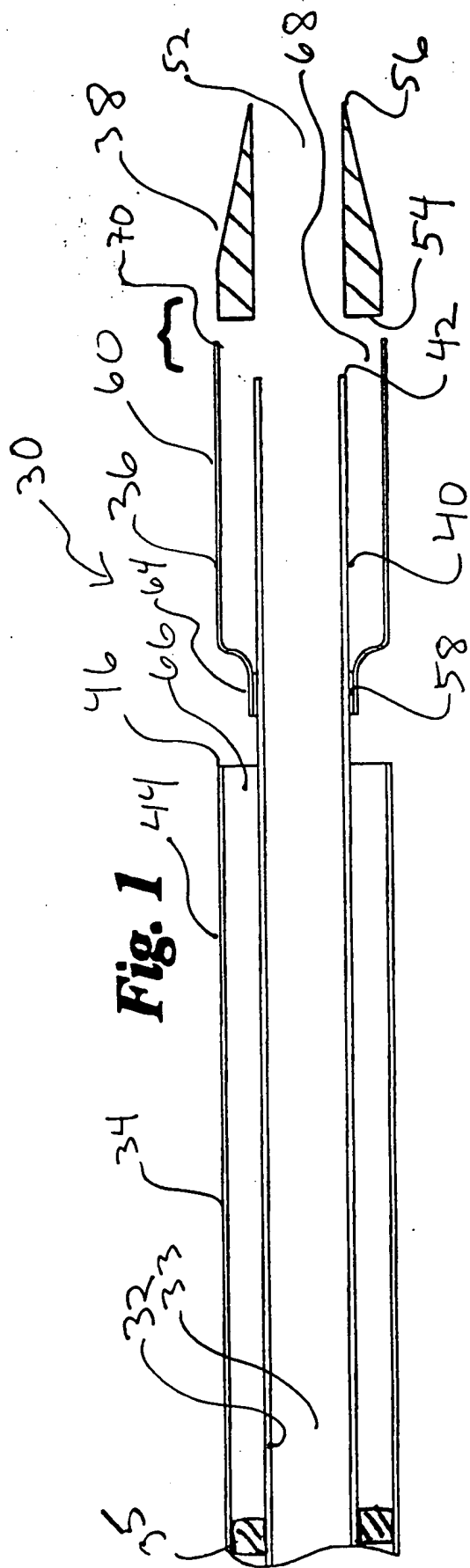
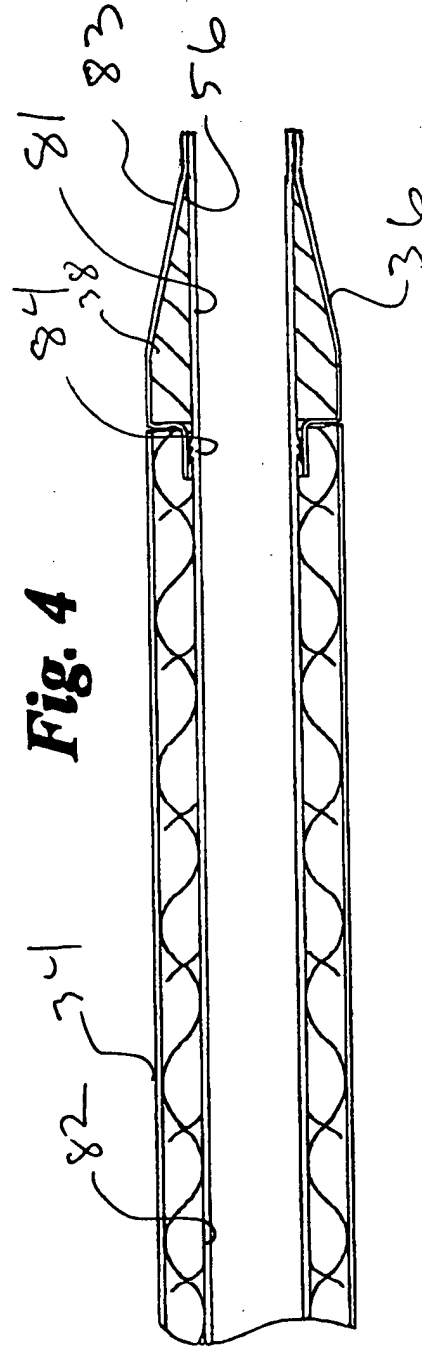
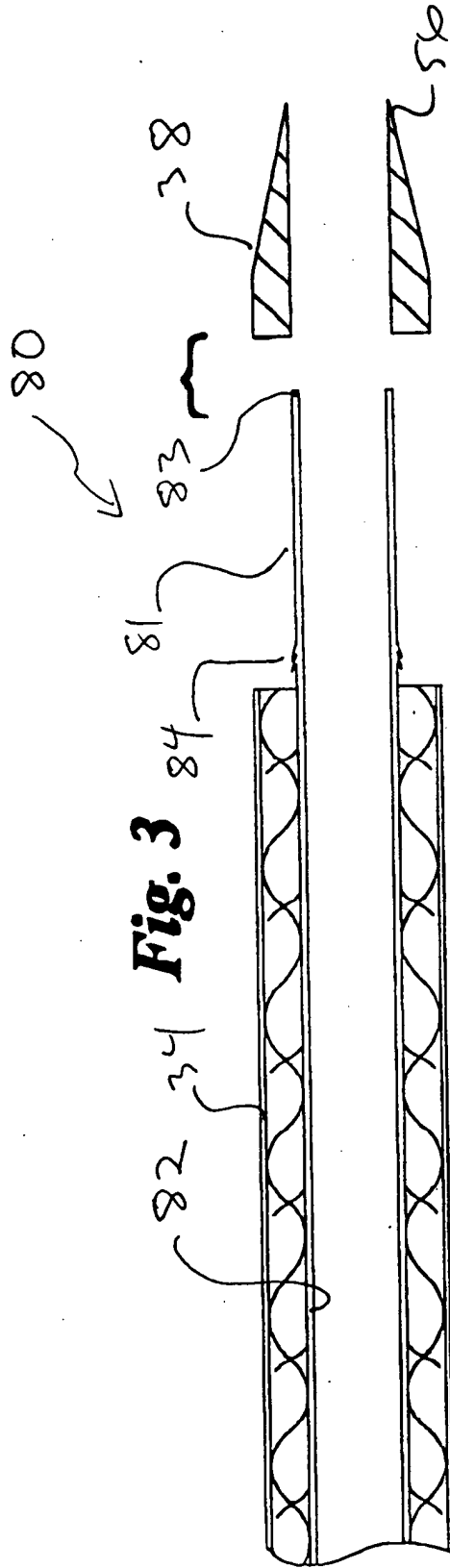


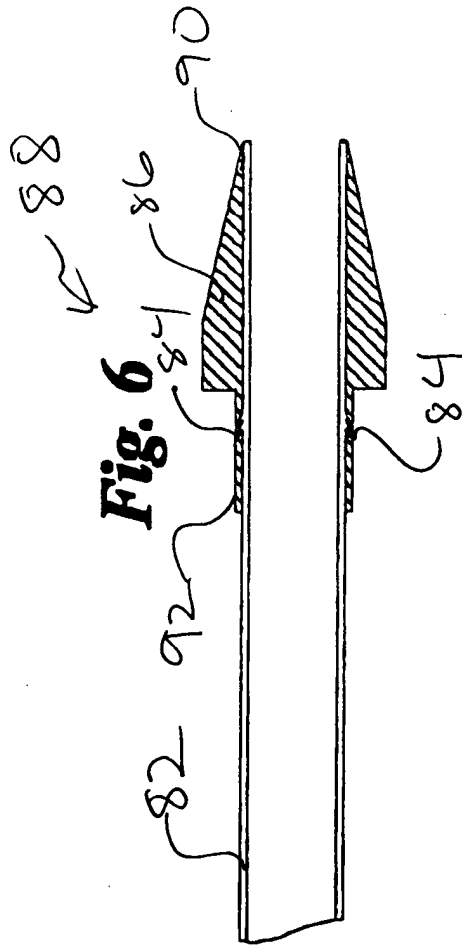
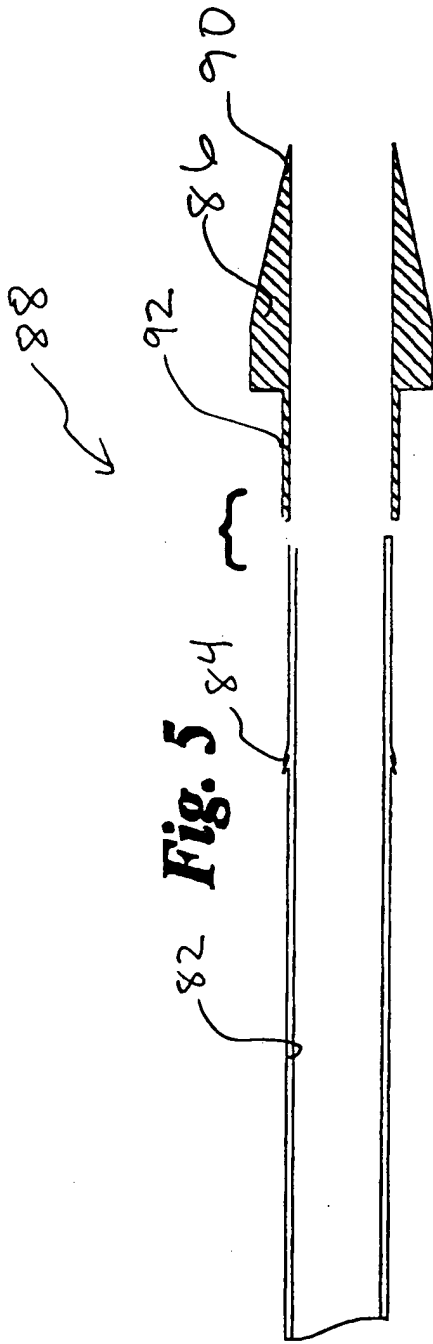
Fig. 19











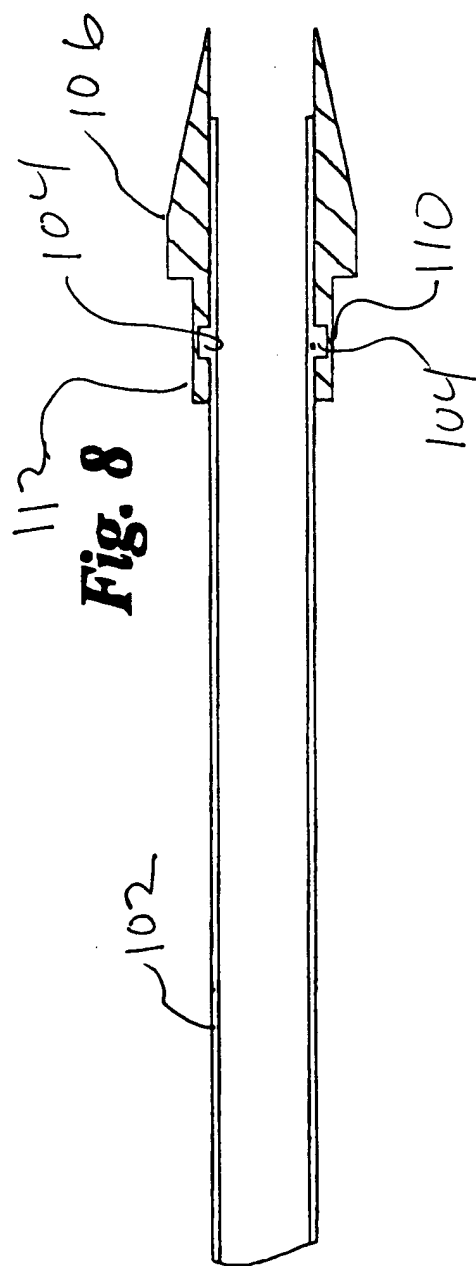
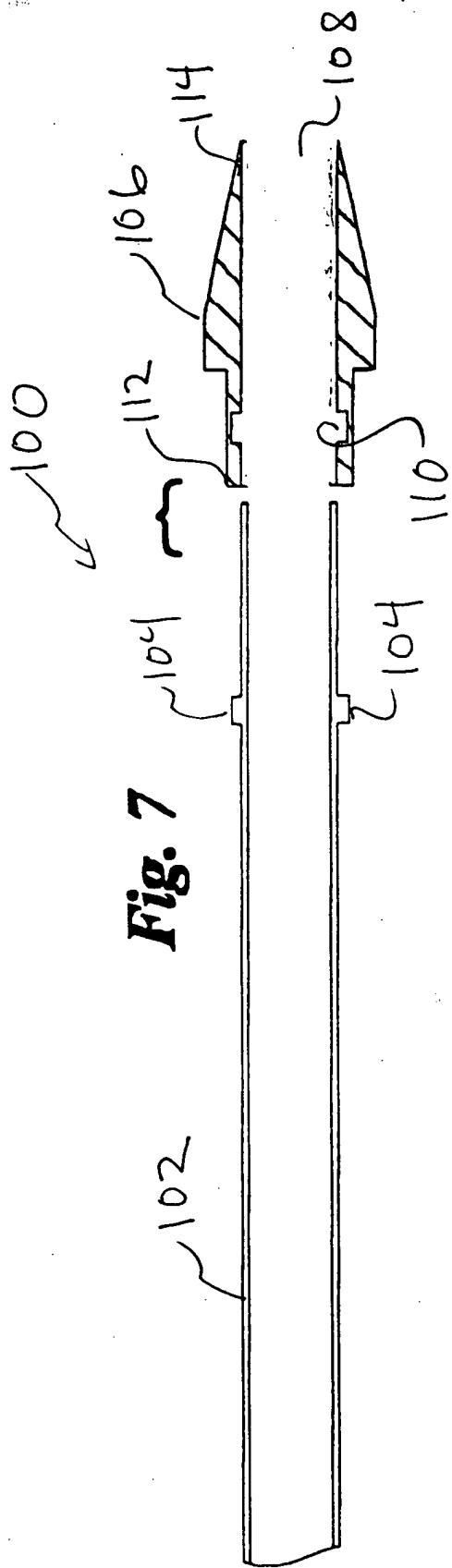


Fig. 9

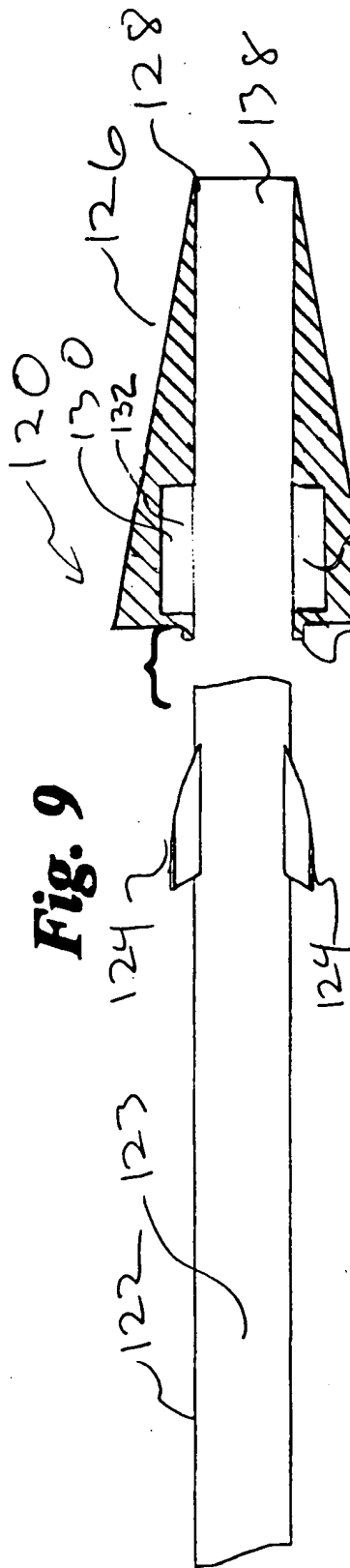


Fig. 10

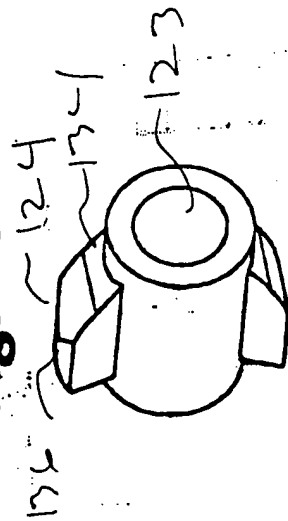


Fig. 11

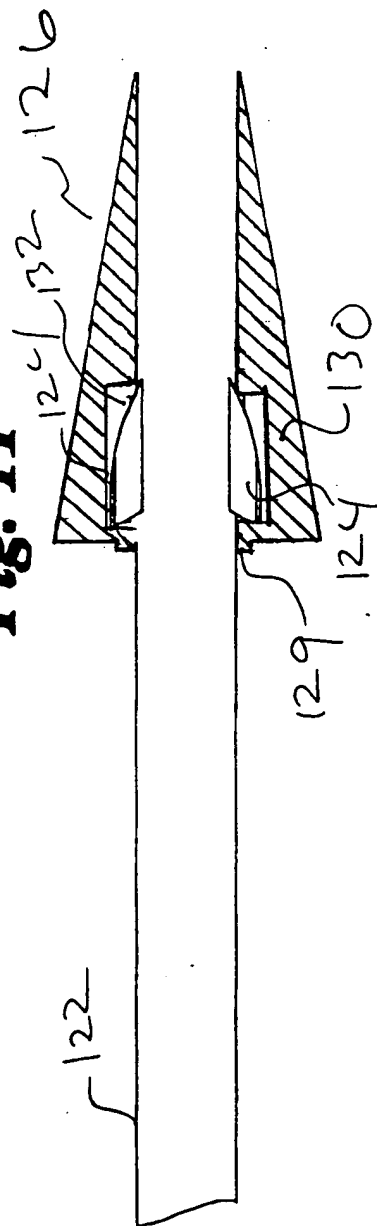


Fig. 12

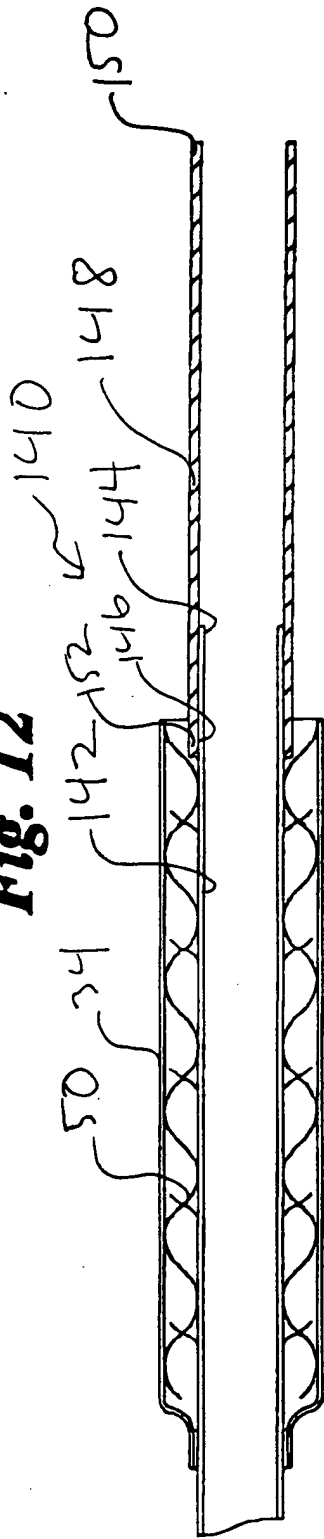


Fig. 13

